

## V-26 コンクリートダムの打設層における拘束と熱応力状態について

京大工学研究所 正員 森 忠次

矩形板よりは三角形板が一边を拘束されたときに生ずる熱応力状態について、これまでに近似計算ならびに光弾性実験によつて解析されてゐるが、それらの結果を用ひて、コンクリートダムの打設層における拘束状態と熱応力状態について考察を加えたことを可とする。以下の数値は主として計算値を用いたことにする。光弾性実験によつてもほとんどの同一の結果を得られる。

### (1) 一様に温度が上昇すると

まず、図-1に示すように、矩形板ABCDが下辺ADにおいて同じ幅の長い矩形板に接続してあるときを考える。矩形板ABCDの下辺ADは一様に温度が上昇するが生じたとき、辺ADにかけられた水平直応力の平均値  $\bar{\sigma}_x$  および剪断応力の平均値  $\bar{\tau}_{xy}$  と矩形の形  $l/h$  との関係を示すと図-2の通りである。ここで  $\chi = E_1/E_2 = (\text{矩形板ABCDの弹性係数})/(\text{接続する物体の弹性係数})$  である。本例では膨張係数を用いる。ここでは平面応力状態を考慮し、引張応力を正とし表わす。図-2によれば、 $l/h$  にかかわらず  $\bar{\sigma}_x$  はほとんど不变であるが、 $\bar{\tau}_{xy}$  は  $l/h$  の増加につれて減少する。 $\chi$  の値によつて引張応力に差があるもので、図-1の下3を接続状況におけると、 $\chi$  による応力変化を調べてみよう。

ただし、この場合に  $h=10$  と  $l=20$  とする。

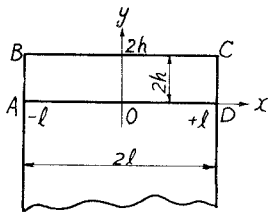


図-1

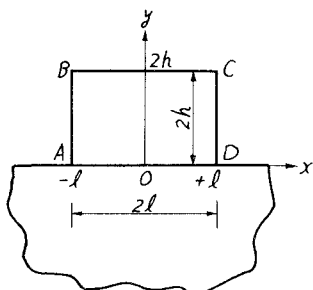


図-4

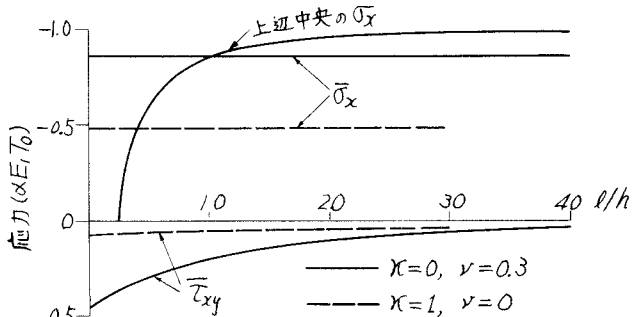


図-2

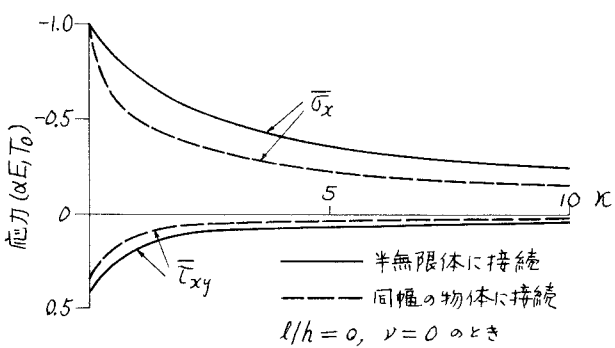


図-3

図-3 によると、 $0 < x < l$  の間では応力の差が大きいが、 $x > l$  では応力差が小さくなる。一方図-4 のように、半無限板に矩形板が接続されたときを考へると、 $h = \infty$  のときには図-3 の実験で示すよる応力をとる。この場合の方が図-1 の接続状況の場合と比べて、かなり大きな応力を呈する。

ブロック幅 15m のときを考へると、リフト高さ 1.5m のとき  $0.7 \text{ m}$  は、それより  $l/h = 10$  より  $20$  は相当である。したがって  $x = l$  のときは、図-1 の状況では  $\bar{\sigma}_x$  と  $\bar{\sigma}_{xy}$  はほとんど差はないが、上辺 BC の中央における  $\bar{\sigma}_x$  は、図-2 に明らかのように  $0.1 \times E_1 T_0$  程度の差を生ずる。ここで示す 1 つめの、点 A および D における  $\bar{\sigma}_y$  は、この 2 つの場合につき大きく異なるものである。この程度の寸法に面しては、応力に支配的影響を及ぼすものは  $1$  に  $X^2$  あり、 $2$  に接続 1 2 の物体の寸法である。 $X = 0$  と  $1$  のときは比較可能と、後者における  $\bar{\sigma}_x$  は  $1/2$  で、 $\bar{\sigma}_{xy}$  は  $1/2$  以下になる。接続 1 2 の物体の影響を考慮するには、 $h = \infty$  と 1 2 図-3 によると、同じ幅のときの接続 1 2 のときは  $\bar{\sigma}_x = -0.5 d E_1 T_0$ 、 $2$  が  $1$  の半無限大の基礎と接続 1 2 のときは  $\bar{\sigma}_x = -0.7 d E_1 T_0$  となることがわかる。後者に対する  $\bar{\sigma}_x = -0.5 d E_1 T_0$  とするときには、 $d = 2.5$  “取付け孔” からね。このように基礎岩盤では拘束の大きさによってかかる。

### (2) 一様な温度上昇によるとき

半無限板が自由端の函数として考へる。図-1 によると、温度上昇は上辺で零、下辺で  $T_0$ 、その間に直線的に変化するときにつき解析した。直 AD 上において完全に固定された場合につきの結果によると、この場合の  $\bar{\sigma}_x$  はほとんどの一様温度上昇のときと変らず、上辺中央における応力は減る。この例を始めとして、多くの解析結果よりわかることは、接続部における応力状態は、主として接続部における温度上昇によって規定されるということができる。

非直線的一様温度上昇と 1 2  $T(y)$  の 2 次式で表わされた場合につきも解析した。接続部における  $\bar{\sigma}_x$  はやはり一様温度上昇のときの値に近似するが、 $\bar{\sigma}_{xy}$  は小さい。また中央附近  $x=0$  における  $\bar{\sigma}_x = -d E_1 T(y)$  は近い。

ついに、温度上昇が  $x$  の多項式で表わされた場合につきも解析した。このときには、接続部における  $\bar{\sigma}_y$  は、温度上昇  $T(x)$  がかなり高次の多項式であるときにつき、 $\bar{\sigma}_y = -d E_1 T_0$  に近い値を示す。

### (3) 一般的な温度変化のとき

弾性体であるとすると、個々の温度変化に対する熱応力状態がわかれば、それらを重ね合わせて温度変化に対する熱応力状態は、全く同じ場合の熱応力を重ね合わせればいい。したがって、以上の結果を用いれば、種々な拘束と温度状態に対する熱応力状態を知ることができます。このことは熱応力状態の大略を説明するには、主として接続部における平均応力のみをとり上げたが、点 A および D における場合は、条件によつては大きな応力集中の生ずる場合があることに注意する必要がある。